

ТЕМПЕРАТУРНО-ГРАДИЕНТНАЯ НЕУСТОЙЧИВОСТЬ ПЛАЗМЫ ВЫЗЫВАЕМАЯ ПРОВОДЯЩИМИ КОНЦЕВЫМИ ПОВЕРХНОСТЯМИ

Г.Л.Берк¹⁾, Д.Д.Рютов, Ю.А.Циодулко

Показано, что в плазме с открытыми силовыми линиями при наличии поперечного к магнитному полю градиента электронной температуры высокая проводимость материальных поверхностей, ограничивающих плазму вдоль силовых линий, может приводить к развитию бурной неустойчивости и усиленному поперечному переносу плазмы. Результат может представлять интерес для открытых ловушек, а также для таких объектов, как магнитосфера Земли (где роль подстилающей поверхности играет ионосфера) и атмосфера Солнца (где эту роль выполняет фотосфера).

Неустойчивость связана с наличием разности потенциалов между плазмой и проводящими концевыми поверхностями установки, являющимися эквипотенциальными поверхностями. В многочисленных экспериментах на открытых ловушках хорошо установлен факт, что между торцевыми поверхностями и центром плазмы устанавливается разность потенциала порядка нескольких T_e/e (T_e – электронная температура, e – заряд электрона). Поэтому неустойчивость особенно чувствительна именно к градиенту электронной температуры. Изолирующие торцы (в лабораторных условиях этот предельный случай достигается путем их секционирования) перестают быть эквипотенциальными, и неустойчивость исчезает. Вместе с недавно опубликованной работой¹⁾ наш результат показывает, что распространенная точка зрения о стабилизирующем влиянии проводящих торцов на неустойчивости плазмы на открытых силовых линиях далеко не всегда правильна. Более раннее обсуждение некоторых вопросов влияния разности потенциалов между плазмой и торцами на устойчивость плазмы можно найти, например, в работах^{2,3}.

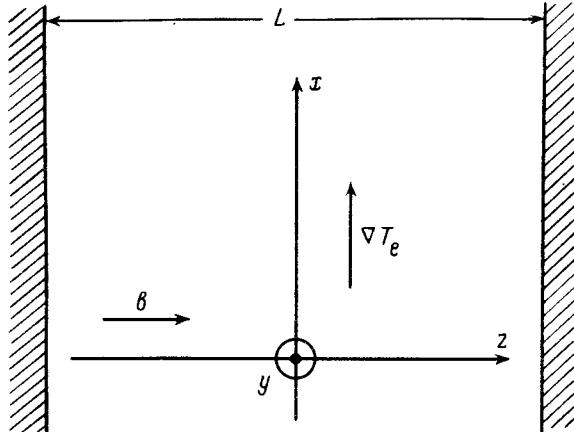
Неустойчивость не требует для своего возникновения наличия кривизны силовых линий магнитного поля. Поэтому для ее анализа воспользуемся плоской моделью, иллюстрируемой рисунком. Чтобы лучше выявить картину неустойчивости, исследуем ее в "очищенном" виде, исключая из рассмотрения эффекты, связанные с градиентом плотности и температуры ионов. Единственный параметр, меняющийся поперек магнитного поля – это электронная температура T_e .

В отношении ограничивающих плазму плоскостей ($z = \pm L/2$ на рисунке) предполагается, что они отражают большую часть падающих на них ионов, так что коэффициент поглощения ионов ϵ много меньше единицы. В применении к открытой ловушке приближение $\epsilon \ll 1$ не плохо имитирует наличие подавляющих потери плазмы концевых систем (например, сильных пробок в газодинамической открытой ловушке⁴). Качественно полученные ниже результаты сохраняют значение и при $\epsilon \sim 1$. Условие $\epsilon \ll 1$ гарантирует, что параметры плазмы в невозмущенном состоянии с точностью до членов $\sim \epsilon$ однородны вдоль силовых линий.

В отношении комплексной частоты неустойчивости ω предполагается, что $|\omega|$ удовлетворяет условию $v_{Ti} \ll |\omega|L \ll v_{Te}$, где $v_{Te,i} = (2T_{e,i}/m_{e,i})^{1/2}$ (m_e и m_i – масса электронов и ионов). Условие $|\omega|L \ll v_{Te}$ позволяет считать распределение электронов вдоль силовых линий бульмановским.

¹⁾ Институт термоядерных исследований, Техасский университет, г. Остин, США.
674

Движение в объеме плазмы будем описывать уравнениями идеальной магнитной гидродинамики. Будем рассматривать возмущения вида $f(z) \exp(-i\omega t + ik_x x + ik_y y)$, локализованные по x и y , с $k_y \gg k_x \gg a^{-1}$, (где $a \equiv (d \ln T_e / dx)^{-1}$ – градиентный масштаб электронной температуры), и плавно зависящие от z . Так как неустойчивость может быть очень быстрой, с частотами, превышающими v_A/L , где $v_A = B/\sqrt{4\pi n_i}$ – альфеновская скорость, мы учтем возмущения магнитного поля (хотя давление плазмы будем считать малым, $\beta \equiv 8\pi n(T_e + T_l)/B^2 \ll 1$). Они связаны с возможной зависимостью смещения ξ_x силовой трубы от z .



Геометрия задачи. Магнитное поле однородно и направлено вдоль оси z . Заштрихованные области – проводящие стенки, ограничивающие плазму вдоль магнитного поля

Из уравнений магнитной гидродинамики для четного относительно плоскости $z = 0$ возмущения $\xi_x(z)$ (нечетные возмущения для кратности не рассматриваем) легко находим, что

$$\xi_x(z) = \xi^* \frac{\cos(\Omega z/v_A)}{\cos(\Omega L/2v_A)}, \quad (1)$$

где $\xi^* = \xi_x(z = L/2)$, $\Omega = \omega - k_y v_E$, v_E – невозмущенная скорость электрического дрейфа. Через ξ^* можно выразить возмущение тока на торец $\delta j_{||}$, возмущение $\delta\varphi$ потенциала на границе дебаевского слоя (со стороны плазмы) и возмущение электронной температуры у стенки δT_e :

$$\delta j_{||} = i\xi^* \frac{k_y c \Omega B}{4\pi v_A} \operatorname{tg} \frac{\Omega L}{v_A}, \quad \delta\varphi = \xi^* \frac{\Omega B}{k_y c}, \quad \delta T_e = -\xi^* \frac{dT_e}{dx}. \quad (2)$$

Понятием электростатического потенциала во всяком случае можно пользоваться в узкой пристеночной области.

Для изолирующих (секционированных) стенок условие $\delta j_{||} = 0$ дает (см. (2)) $\Omega = 2\pi\mu v_A/L$, $\mu = 1, 2, \dots$, что соответствует обычным альфеновским стоячим волнам.

В случае проводящих торцов следует выразить $\delta j_{||}$ через возмущение параметров плазмы у стенки. Можно показать, что при достаточно частых электрон-электронных столкновениях и высокой проводимости торцов

$$\delta j_{||} = \frac{e\pi n T_l}{2\sqrt{\pi}} \left[\frac{e\delta\varphi}{T_e} - \left(\Lambda + \frac{1}{2} \right) \frac{\delta T_e}{T_e} \right], \quad (3)$$

где $\Lambda = \ln(v_{Te}/ev_{Tl})$. Обычно в условиях открытых ловушек $\Lambda = 5-7$. Из (2) и (3) получается

ся дисперсионное соотношение

$$\frac{2v_A \Omega}{L} \operatorname{tg} \frac{\Omega L}{2v_A} + \frac{i\nu\Omega}{w^2} + \frac{i\Gamma^2}{w} = 0, \quad (4)$$

где

$$\nu = \frac{\omega_{Bi}^2 m_i a^2}{\tau T_e}; \quad \Gamma^2 = \frac{\omega_{Bi}}{\tau} \left(\Lambda + \frac{1}{2} \right); \quad w = ka \quad (5)$$

ω_{Bi} – ионная циклотронная частота, $\tau \equiv \sqrt{\pi L/e} v_{Ti}$ – время жизни плазмы.

В применении к открытым ловушкам (например, газодинамической или амбиполярной) принятая нами модель однородного магнитного поля имитирует длинный центральный соленоид. Концевые структуры (например, пробка и расширитель в газодинамической ловушке) обычно очень короткие и не вносят вклада в инерцию силовой трубы; их роль состоит в том, что они определяют перепад потенциала между плазмой центрального соленоида и стенкой. В этом смысле они имитируют дебаевский слой в нашей модели. Для газодинамической ловушки характерна относительно высокая частота столкновений, и наши результаты могут быть использованы практически без изменений. Следует только заменить коэффициент ϵ на обратное пробочное отношение $1/R$. В амбиполярных ловушках с редкими столкновениями соотношение (3), возможно потребует модификации (ср. ⁵).

В пределе нулевого β (чему формально соответствует предельный переход $v_A \rightarrow \infty$) возмущение превращается в не зависящий от z "желобок" (см. (1)), а дисперсионное соотношение становится квадратным уравнением относительно Ω (аналогичным по форме тому, которое возникает в теории дрейфово-диссипативной неустойчивости). В принципе, этот предельный случай можно получить также на основе уравнений работы Б.Б.Кадомцева ².

На неустойчивость слабо влияет наличие поперечных градиентов температуры и плотности ионов, а эффекты конечного ларморовского радиуса ионов (с необходимостью требующие учета при наличии неоднородности n и T_i) приводят лишь к некоторому уменьшению максимального инкремента.

При $\beta \rightarrow 0$ ($v_A \rightarrow \infty$) инкремент как функция параметра w имеет максимум при $w = 1.8(\nu/\Gamma)^{2/3}$, максимум равен

$$(\operatorname{Im} \Omega)_{max} = 0.25 \left(\frac{v_{Ti}}{L} \right) \left(\epsilon \frac{T_e}{T_i} \right)^{1/3} \left[\frac{L(\Lambda + \frac{1}{2})}{a} \right]^{2/3}.$$

Подставляя сюда значения параметров, типичные для экспериментов на газодинамической ловушке ⁶ ($\epsilon = 1/R = 1/20$, $T_e/T_i = 1$, $L/a = 100$; $\Lambda = 5$) находим, что $(\operatorname{Im} \Omega)_{max} = 6.2(v_{Ti}/L)$.

Большое значение инкремента делает существенным учет конечности скорости альфеновских волн. Можно показать, что этот эффект приводит к снижению максимального инкремента, который во всяком случае не может быть больше (по порядку величины) чем v_A/L . Снижение инкремента происходит уже при очень малых значениях β . Так, полагая $\beta = 0.2$ и сохраняя неизменными приводившиеся выше значения остальных численных параметров, из (4) находим, что $(\operatorname{Im} \Omega)_{max}$ убывает почти вдвое, оставаясь, впрочем, очень большим,

Таким образом, совместное действие двух факторов: проводящих торцов и поперечного градиента электронной температуры, вызывает развитие специфической неустойчивости, которая должна приводить к выравниванию температуры электронов по сечению плазмы.

Литература

2. Kadomtsev B.B. Proc. of the 7 Conf. on Phenomena in Ionized Gases. Belgrade, 1966, II, 610.
3. Kunkel W.B., Guillory J.U. Ibid, 702.
4. Мирнов В.В., Рютов Д.Д. Письма в ЖТФ, 1979, 5, 678.
5. Бехтенев А.А. и др. Физика плазмы, 1988, 14, 292.
6. Bagryantsev P.A. et al. In Plasma Physics and Controlled Nuclear Fusion Research (Proc. 12th Int. Conf., Nice, 1988) IAEA, Vienna, 1989, 2, 483.

Институт ядерной физики
Сибирского отделения Академии наук СССР

Поступила в редакцию
22 мая 1990 г.